

Рис. 1.

В дальнейшем качество АЗУ будем также характеризовать коэффициентом режекции  $K_p$  (коэффициентом подавления входного сигнала), численно равным отношению  $K_p = 20 \lg (\Delta U_x / \delta_u)$ .

Для обычно используемых в АЗУ канальных МОП-ключей емкость сток — исток составляет величину порядка 0,2—2 пФ. В таких ключах использование накапливающей емкости  $C_n = 150$  пФ приводит к погрешности  $\delta_u$ , превышающей 1%. При мерно такие же погрешности будут образовываться и при применении диодно-мостовых ключей.

В связи с вышеизложенным разработка методов уменьшения времени выборки при больших коэффициентах режекции является актуальной. На схеме рис. 1 представлен возможный способ компенсации рассматриваемой погрешности в простейшей схеме АЗУ, выполненной на ОУ. Применение в качестве второго буферного устройства ОУ с дифференциальным входным каскадом позволило осуществить компенсацию прямого прохождения путем подачи преобразуемого сигнала на инвертирующий вход выходного ОУ. Степень подавления прохождения преобразуемого сигнала в предлагаемой схеме в первом приближении определяется точностью выполнения соотношения  $C_n / C_h = R_9 / R_8$ .

Подстроечным резистором  $R_8$ , в принципе, легко можно достичь выполнения этого условия. Однако с ростом частоты сигнала, вследствие неидеальности поведения ОУ на высоких частотах, его коэффициент подавления синфазной составляющей сигнала уменьшается.

Практически регулировка резистора делителя ( $R_8$ ) схемы компенсации и определение коэффициента режекции проводится следующим образом. АЗУ устанавливается в режим «Хранение». Вход буферного ОУ — запоминающий конденсатор — шунтируется высокоомным резистором (для исключения насыщения ОУ за счет заряда запоминающего конденсатора), а на вход АЗУ подается синусоидальный сигнал с амплитудой, равной диапазону. Амплитуда сигнала, проходящего через разомкнутый ключ, наблюдается на выходе АЗУ с помощью осциллографа. После этого резистор  $R_8$  регулируется таким образом, чтобы амплитуда сигнала на выходе АЗУ была минимальной. Увеличивая частоту входного сигнала, легко определить ее предельное значение, при котором коэффициент режекции АЗУ еще удовлетворяет заданным требованиям. Для АЗУ, выполненного по схеме рис. 1, коэффициент режекции имеет значение более 66 дБ до частот 0,7 МГц.

Предложенная схема АЗУ была использована при разработке одноплатного АЦП, выполненного в стандарте КАМАК, со следующими параметрами: время преобразования 5 мкс, число разрядов 12, число каналов 16, амплитудный диапазон преобразуемого сигнала  $\pm 5$  В.

Большое значение при разработке этого АЦП имело определение требуемого времени выборки и его минимизация. Способы проверки основных динамических характеристик АЗУ — времени выборки и коэффициента режекции сигнала при хранении — представляют самостоятельный интерес. Эти характеристики являются узловыми при анализе работы АЦП с АЗУ в многоканальных системах сбора данных.

Время выборки для таких систем должно быть не меньше чем длительность переходного процесса АЗУ при скачкообразном изменении входного сигнала на всем диапазоне от выборки к выборке. Очевидно, что время выборки зависит от динамических свойств операционных усилителей, параметров ключа и значения накапливающей емкости. Для определения времени выборки применена следующая методика: на входы коммутатора АЦП (рис. 2) подаются два постоянных сигнала с

противоположными знаками  $U_n = \pm 5$  В. АЗУ по концу преобразования переходит в режим «Выборка»; по сигналу запуска — в режим «Хранение». Коммутатор по командам от магистрали крейта поочередно подключает сигналы к выходу АЗУ. При этом на входе АЗУ формируется знакочередующийся меандр периода  $T$  с амплитудой  $2U_n$ . Запуск АЦП проводится от стандартного генератора задержанных импульсов (через переднюю панель). Изменяя задержку  $\tau$ , можно определить ее минимальное значение, когда погрешность преобразования еще не превышает 1 кванта (2.5 мВ). Значение этой задержки и обуславливает время выборки. Экспериментально полученное значение времени выборки при применении в АЗУ усилителей 544УД2А, ключа на транзисторе КП303Е и накапливающего конденсатора  $C_n = 150$  пФ 600 нс.

Таким образом, при использовании описываемой методики минимизации значения запоминающего конденсатора время выборки определяется в основном динамическими свойствами ОУ.

Контроль за значением коэффициента режекции осуществляется при этом следующим образом: время задержки запуска  $\tau$  изменяется так, чтобы скачок на входе АЗУ имел место на интервале времени преобразования АЦП. Наблюдение за результатами аналого-цифрового преобразования позволяет судить о наличии погрешности от прямого прохождения сигнала в режиме «Хранение». Подавление этого эффекта с погрешностью не более  $2 \cdot 10^{-4}$  при  $C_n = 150$  пФ достигается практически без регулировки схемы компенсации.

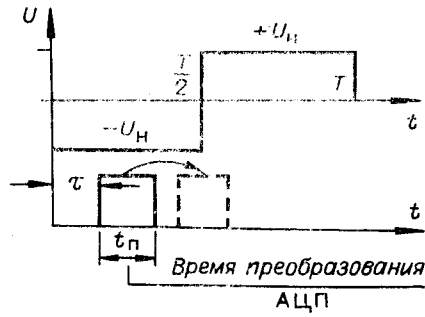


Рис. 2.

Поступило в редакцию 29 апреля 1982 г.

УДК 535.681.3.05

В. И. ГУНДЯК, И. И. МОХУНЬ

(Черновцы)

## ОБ ЭКВИВАЛЕНТОСТИ ГОЛОГРАММНЫХ И РЕФРАКЦИОННЫХ ОПТИЧЕСКИХ ЭЛЕМЕНТОВ

Перспективным направлением развития элементной базы систем оптической обработки информации является применение в них голограммных оптических элементов (ГОЭ) [1]. Однако в силу своей дискретной структуры ГОЭ не может рассматриваться как полный аналог рефракционного оптического элемента (даже без учета aberrационных характеристик). Величина периода локальной решетки ГОЭ, ее функция пропускания и связанные с ней дифракционная эффективность ограничивают наименьший элемент разрешения и сложность обрабатываемой информации [2].

Целью данной работы является исследование сравнительных характеристик ГОЭ и рефракционных элементов. Пусть параллельный пучок излучения освещает ГОЭ и рефракционный элемент, в плоскости которых находятся ограничивающие диафрагмы. Поскольку максимальное различие между преобразованными волновыми фронтами будет возникать при размере ограничивающей диафрагмы, сравнимой с локальным периодом ГОЭ, рассмотрим лишь этот случай. Тогда полосы локальной решетки можно считать прямыми, а ее период постоянным.

Поле за ГОЭ и рефракционным элементом описывается соответственно

$$U_r \sim P_a(x) \Phi(x), \quad U_p \sim P_a(x) \exp\{j(2\pi/T)x\}, \quad (1)$$

где  $\Phi(x)$  — функция пропускания ГОЭ;  $\exp\{j(2\pi/T)x\}$  — пропускание оптического клина;  $T$  — локальный период;  $P_a(x) = \begin{cases} 1, & |x| \leq a, \\ 0, & x > a, x < -a, \end{cases}$   $2a$  — размер ограничивающей диафрагмы.

Для сравнения волновых фронтов, преобразованных рефракционным и голограммным оптическими элементами, используем корреляционный критерий. Рассмотрим корреляционную функцию

$$g(t) = U_r * U_p \quad (2)$$

или

$$g(t) = \int_{-\infty}^{\infty} P_a(x) \Phi(x) P_a(x+t) \exp\left\{-j \frac{2\pi}{T}(x+t)\right\} dx. \quad (3)$$